

# Robotique Industrielle

UPJV, Département EEA

M1 3EA, Parcours RoVA, EC15

**Fabio MORBIDI**

Laboratoire MIS

Équipe Perception Robotique

E-mail: [fabio.morbidi@u-picardie.fr](mailto:fabio.morbidi@u-picardie.fr)

**Lundi 13h30-16h30 (CM ou TD, salle CURI 304)  
(TP, salle TP204)**

**Année Universitaire 2023-2024**



# Plan du cours

## Chapitre 1 : Introduction

- 1.1 Définitions
- 1.2 Classification des robots
- 1.3 Constituants d'un robot
- 1.4 Caractéristiques d'un robot
- 1.5 Générations de robots
- 1.6 Programmation des robots
- 1.7 Utilisation des robots



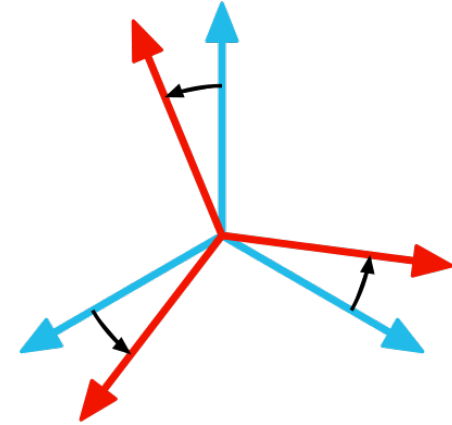
## Chapitre 2 : Fondements Théoriques

- 2.1 Pose d'un corps rigide
  - Matrices de rotation et autres représentations de l'orientation
  - Transformations homogènes

# Plan du cours

## 2.2 Cinématique

- Dérivée d'une matrice de rotation
- Vitesse angulaire d'un repère
- Mouvement de corps rigide
- Torseur cinématique



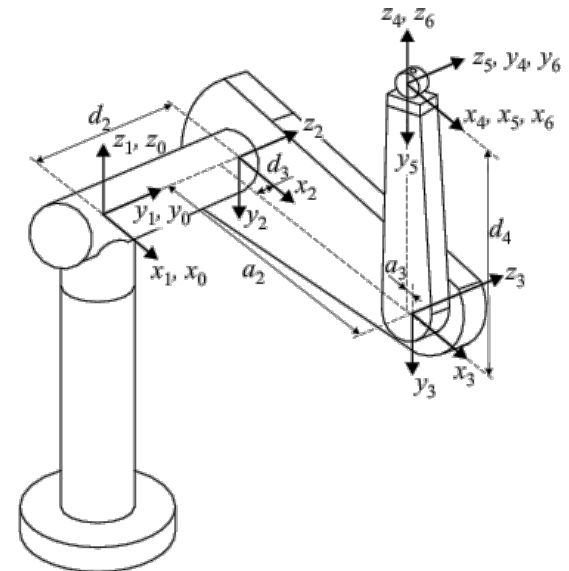
## Chapitre 3 : Modélisation d'un Robot

### 3.1 Modèle géométrique

- Convention de Denavit-Hartenberg
- Modèle géométrique direct
- Modèle géométrique inverse

### 3.2 Modèle cinématique

- Modèle cinématique direct
- Modèle cinématique inverse

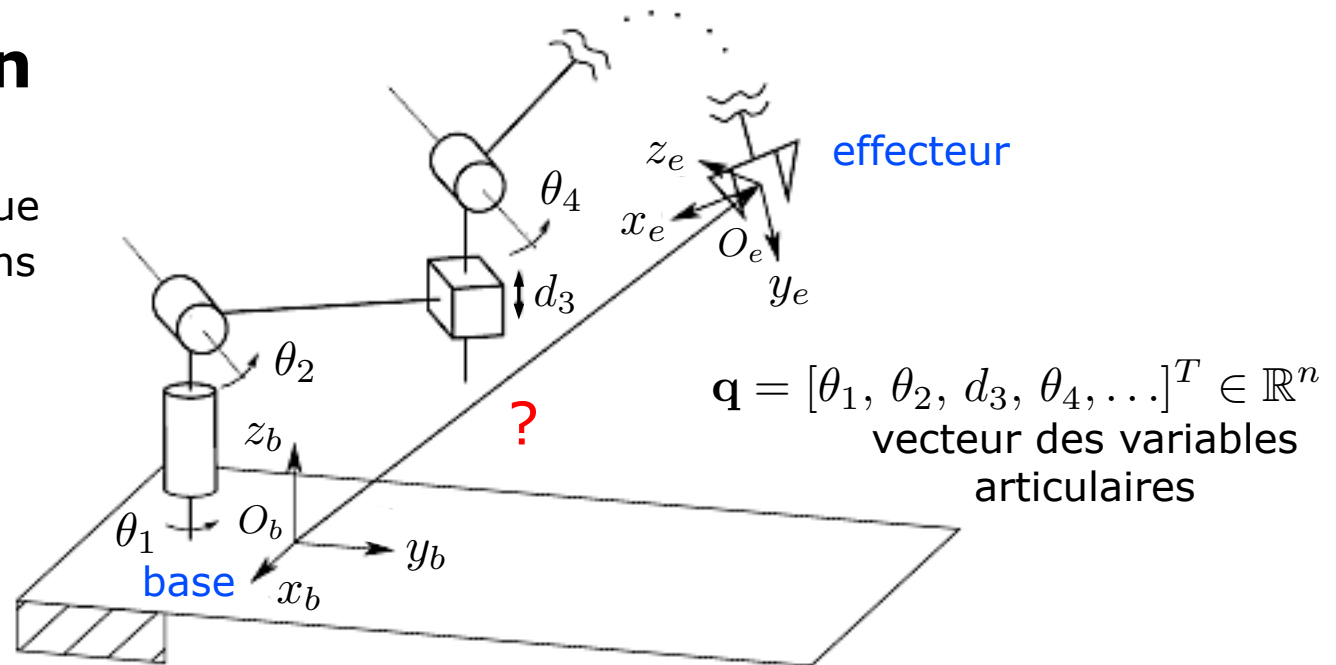


# Notation

$a, \gamma, M \in \mathbb{R}$	scalaires (nombres réels)	$\begin{bmatrix} x_1 \\ \vdots \\ x_n \end{bmatrix}$
$\mathbf{x} \in \mathbb{R}^n$	vecteur <i>colonne</i> de dimension $n$ , $\mathbf{x} =$	
$\mathbf{A} \in \mathbb{R}^{n \times m}$	matrice avec $n$ lignes et $m$ colonnes	
$\mathbf{A}^T \in \mathbb{R}^{m \times n}$	transposée de la matrice $\mathbf{A} \in \mathbb{R}^{n \times m}$	
$\det(\mathbf{A}), \mathbf{A}^{-1}$	déterminant et inverse de $\mathbf{A} \in \mathbb{R}^{n \times n}$	
$\mathbf{I}_n \in \mathbb{R}^{n \times n}$	matrice identité $n \times n$	
$\mathbf{0}_{n \times m} \in \mathbb{R}^{n \times m}$	matrice de zéros $n \times m$	
$\langle \mathbf{x}, \mathbf{y} \rangle = \mathbf{x}^T \mathbf{y}$	produit scalaire des vecteurs $\mathbf{x}, \mathbf{y} \in \mathbb{R}^n$	
$\ \mathbf{x}\  = \sqrt{\langle \mathbf{x}, \mathbf{x} \rangle}$	norme euclidienne du vecteur $\mathbf{x} \in \mathbb{R}^n$	
$\mathbf{x} \times \mathbf{y}$	produit vectoriel des vecteurs $\mathbf{x}, \mathbf{y} \in \mathbb{R}^3$	

# Motivation

Robot générique  
à  $n$  articulations



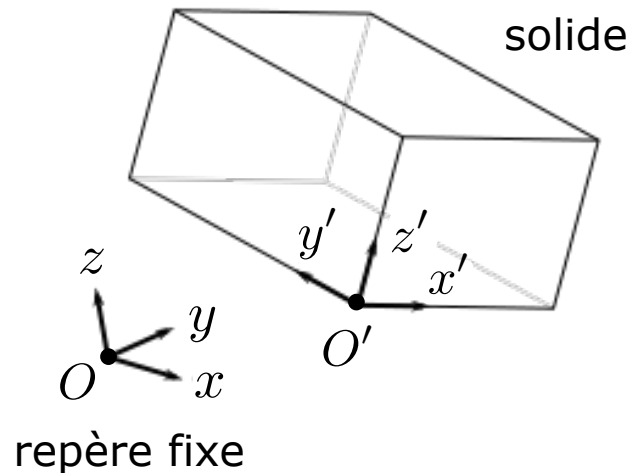
- Un manipulateur peut être représenté comme une *chaîne cinématique* de segments reliés par l'intermédiaire d'articulations rotoïdes ou prismatiques
- Le mouvement résultant de la structure est obtenu par *composition* des mouvements élémentaires de chaque segment par rapport au précédent
- Afin de manipuler un objet dans l'espace, il est nécessaire de décrire la *position* et l'*orientation* (**pose**) de l'effecteur

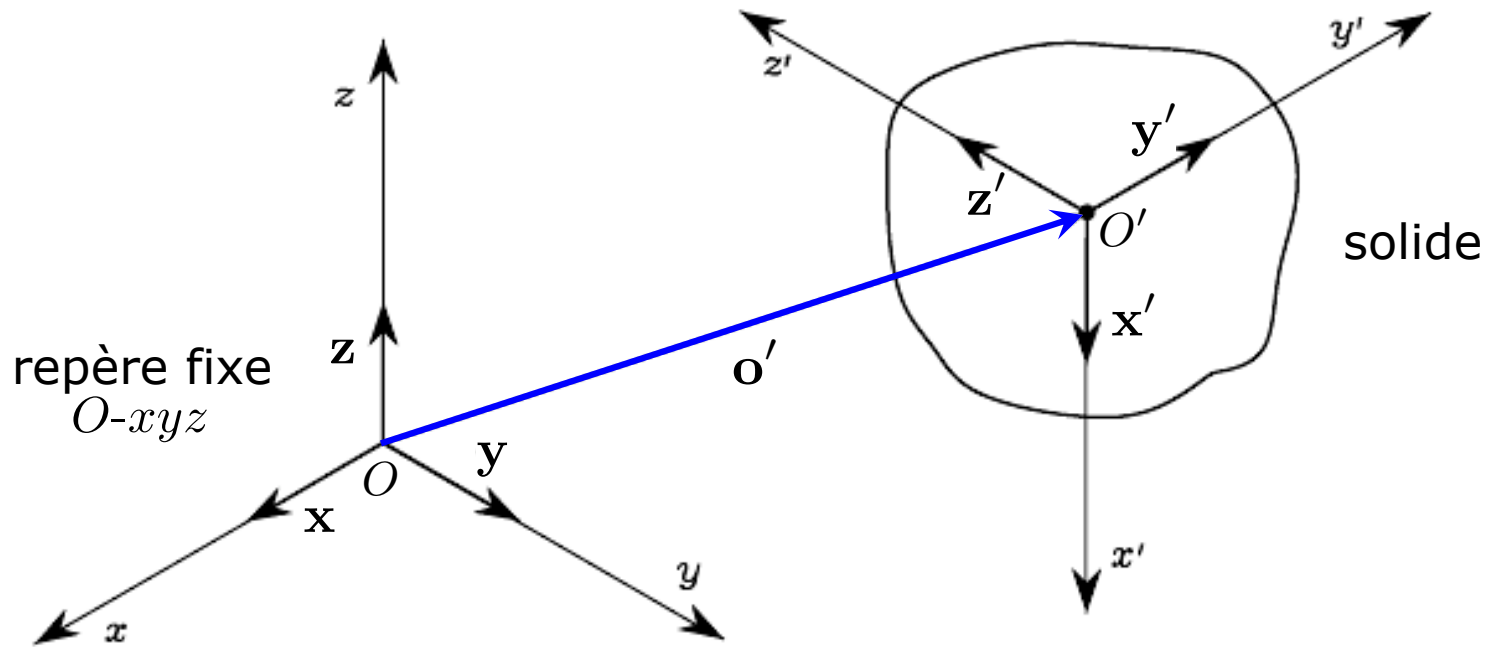
**Objectif** : exprimer la pose de l'effecteur en fonction des variables des articulations, par rapport à un repère donné (ex. le repère de la base)

## 2.1 Pose d'un corps rigide

La **pose** d'un *corps rigide* (ou *solide*) dans l'espace 3D peut être complètement décrite par **6 paramètres indépendants** :

- **3** paramètres indépendants définissent la **position** d'un point, noté  $O'$ , du solide dans le repère fixe  $O-xyz$  (ex. coordonnées cartésiennes, cylindriques ou sphériques)
- **3** paramètres indépendants déterminent l'**orientation** du solide autour du point  $O'$  (ex. les angles d'Euler)





La **position** du point  $O'$  du solide par rapport au repère fixe  $O-xyz$  s'exprime par l'équation:

$$\mathbf{o}' = o'_x \mathbf{x} + o'_y \mathbf{y} + o'_z \mathbf{z}$$

où  $\mathbf{x}$ ,  $\mathbf{y}$ ,  $\mathbf{z}$  sont les vecteurs unitaires (leurs norme est 1) des axes du repère  $O-xyz$  et  $o'_x$ ,  $o'_y$ ,  $o'_z$  sont les composantes du vecteur  $\mathbf{o}' \in \mathbb{R}^3$  le long de chacun des trois axes

- Afin de décrire l'**orientation** du solide, considérons un repère *attaché au corps* et exprimons ses vecteurs unitaires par rapport au repère  $O-xyz$
- Soit  $O'-x'y'z'$  un tel repère avec origine  $O'$  et soient  $\mathbf{x}'$ ,  $\mathbf{y}'$ ,  $\mathbf{z}'$  les vecteurs unitaires des axes
- Ces vecteurs sont exprimés par rapport au repère  $O-xyz$  par les équations :

$$\mathbf{x}' = x'_x \mathbf{x} + x'_y \mathbf{y} + x'_z \mathbf{z}$$

$$\mathbf{y}' = y'_x \mathbf{x} + y'_y \mathbf{y} + y'_z \mathbf{z}$$

$$\mathbf{z}' = z'_x \mathbf{x} + z'_y \mathbf{y} + z'_z \mathbf{z}$$

- Sous forme compacte, les vecteurs unitaires  $\mathbf{x}'$ ,  $\mathbf{y}'$ ,  $\mathbf{z}'$  qui décrivent l'orientation du solide par rapport à  $O-xyz$ , peuvent être combinés dans la matrice  $3 \times 3$  :

$$\mathbf{R} = [\mathbf{x}' \quad \mathbf{y}' \quad \mathbf{z}'] = \begin{bmatrix} x'_x & y'_x & z'_x \\ x'_y & y'_y & z'_y \\ x'_z & y'_z & z'_z \end{bmatrix} = \begin{bmatrix} \mathbf{x}'^T \mathbf{x} & \mathbf{y}'^T \mathbf{x} & \mathbf{z}'^T \mathbf{x} \\ \mathbf{x}'^T \mathbf{y} & \mathbf{y}'^T \mathbf{y} & \mathbf{z}'^T \mathbf{y} \\ \mathbf{x}'^T \mathbf{z} & \mathbf{y}'^T \mathbf{z} & \mathbf{z}'^T \mathbf{z} \end{bmatrix}$$

qui est appelée **matrice de rotation**. On dit que  $x'_x$  est le *cosinus directeur* reliant  $\mathbf{x}'$  à  $\mathbf{x}$  (et de même pour les autres huit éléments de  $\mathbf{R}$ )



# Propriétés des matrices de rotation

- Les colonnes d'une matrice de rotation sont *orthogonales* à deux à deux,

$$\mathbf{x}'^T \mathbf{y}' = 0, \quad \mathbf{y}'^T \mathbf{z}' = 0, \quad \mathbf{z}'^T \mathbf{x}' = 0$$

est leur norme est égale à 1:

$$\mathbf{x}'^T \mathbf{x}' = 1, \quad \mathbf{y}'^T \mathbf{y}' = 1, \quad \mathbf{z}'^T \mathbf{z}' = 1$$

Par conséquent,  $\mathbf{R}$  est une **matrice orthogonale**, c'est-à-dire:

$$\mathbf{R}^T \mathbf{R} = \mathbf{I}_3$$

Si on multiplie à droite chaque côté de l'équation précédente par  $\mathbf{R}^{-1}$  on trouve que :

$$\boxed{\mathbf{R}^T = \mathbf{R}^{-1}}$$

c'est-à-dire, la *transposée d'une matrice de rotation est égale à son inverse*.

- En plus de conserver les *longueurs*, les matrices de rotation doivent également conserver l'*orientation*, donc il faut que  $\det(\mathbf{R}) = 1$  (vrai, si le repère est *direct*)

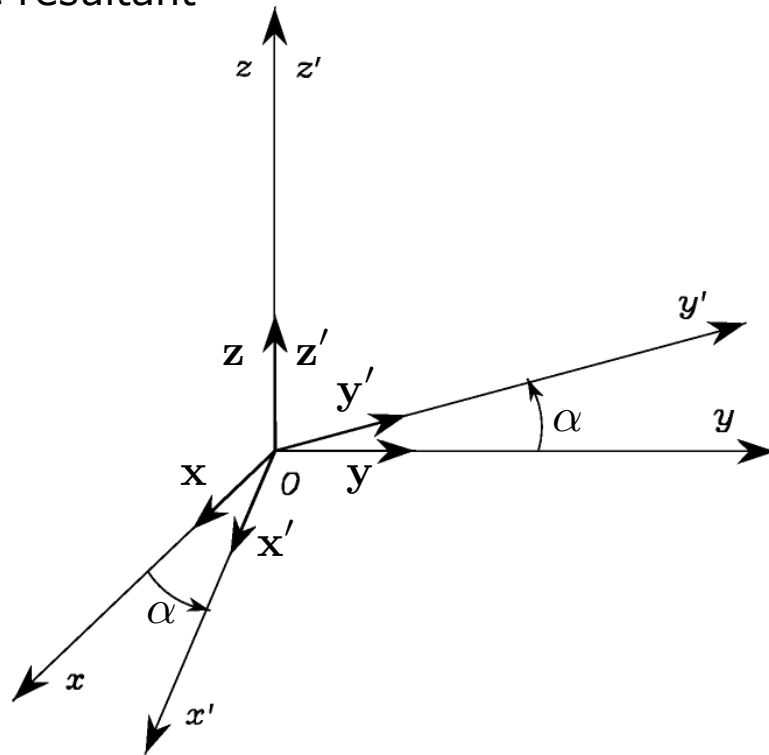
$$\text{SO}(3) \triangleq \{ \mathbf{R} \in \mathbb{R}^{3 \times 3} : \mathbf{R}^T \mathbf{R} = \mathbf{I}_3, \det(\mathbf{R}) = 1 \}$$

Groupe spécial orthogonal  
de dimension 3

# Rotations élémentaires

- Considérons les rotations qu'on peut obtenir à partir de **rotations élémentaires** autour des axes  $x, y, z$
- Ces rotations sont **positives** si elles sont faites autour des axes relatifs, dans le sens *anti-horaire*

**Exemple** : le repère  $O-xyz$  est pivoté d'un angle  $\alpha$  autour de l'axe  $z$  et  $O-x'y'z'$  est le repère résultant



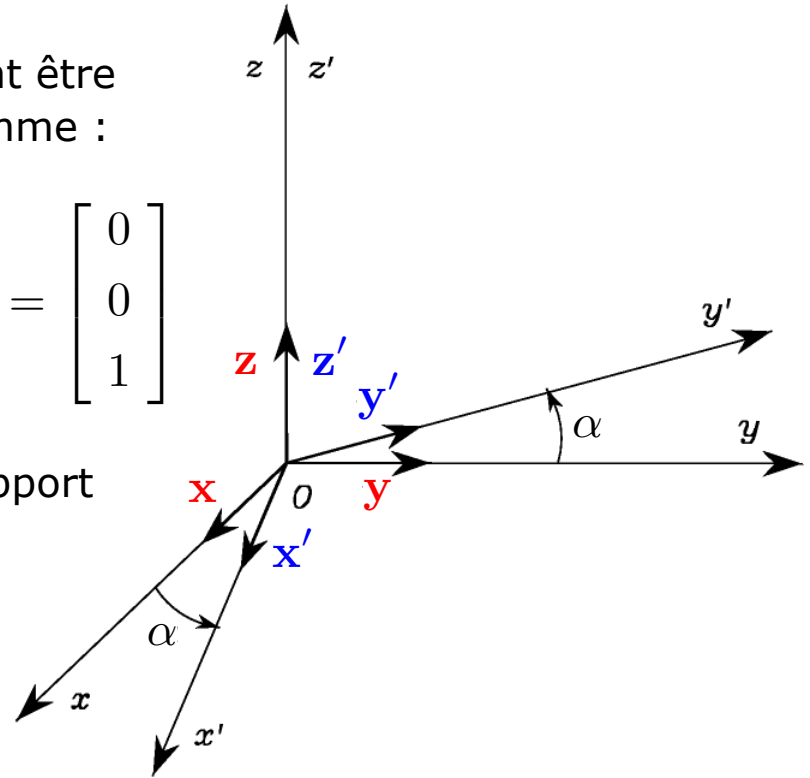
# Rotations élémentaires

- Les vecteurs unitaires de  $O-x'y'z'$  peuvent être exprimés par rapport au repère  $O-xyz$  comme :

$$\mathbf{x}' = \begin{bmatrix} \cos \alpha \\ \sin \alpha \\ 0 \end{bmatrix}, \quad \mathbf{y}' = \begin{bmatrix} -\sin \alpha \\ \cos \alpha \\ 0 \end{bmatrix}, \quad \mathbf{z}' = \begin{bmatrix} 0 \\ 0 \\ 1 \end{bmatrix}$$

- La matrice de rotation de  $O-x'y'z'$  par rapport à  $O-xyz$  engendrée, est donc:

$$\mathbf{R}_z(\alpha) = \begin{bmatrix} \cos \alpha & -\sin \alpha & 0 \\ \sin \alpha & \cos \alpha & 0 \\ 0 & 0 & 1 \end{bmatrix}$$



De la même façon, on peut trouver la matrice de rotation autour de l'axe  $x$  d'un angle  $\beta$  et la matrice de rotation autour de l'axe  $y$  d'un angle  $\gamma$

**Remarque :** Ces matrices seront utiles pour décrire des rotations dans l'espace 3D autour d'axes *quelconques*

# Rotations élémentaires: sommaire

Slide à imprimer  
pour le DS

$$\mathbf{R}_x(\gamma) = \begin{bmatrix} 1 & 0 & 0 \\ 0 & \cos \gamma & -\sin \gamma \\ 0 & \sin \gamma & \cos \gamma \end{bmatrix}$$

Matrice de rotation autour  
de l'axe  $x$  d'un angle  $\gamma$

$$\mathbf{R}_y(\beta) = \begin{bmatrix} \cos \beta & 0 & \sin \beta \\ 0 & 1 & 0 \\ -\sin \beta & 0 & \cos \beta \end{bmatrix}$$

Matrice de rotation autour  
de l'axe  $y$  d'un angle  $\beta$

$$\mathbf{R}_z(\alpha) = \begin{bmatrix} \cos \alpha & -\sin \alpha & 0 \\ \sin \alpha & \cos \alpha & 0 \\ 0 & 0 & 1 \end{bmatrix}$$

Matrice de rotation autour  
de l'axe  $z$  d'un angle  $\alpha$

## Remarque :

Pour les rotations élémentaires, la propriété suivante est vérifiée :

$$\mathbf{R}_x(-\gamma) = \mathbf{R}_x^T(\gamma), \quad \mathbf{R}_y(-\beta) = \mathbf{R}_y^T(\beta), \quad \mathbf{R}_z(-\alpha) = \mathbf{R}_z^T(\alpha)$$

# Représentation d'un vecteur

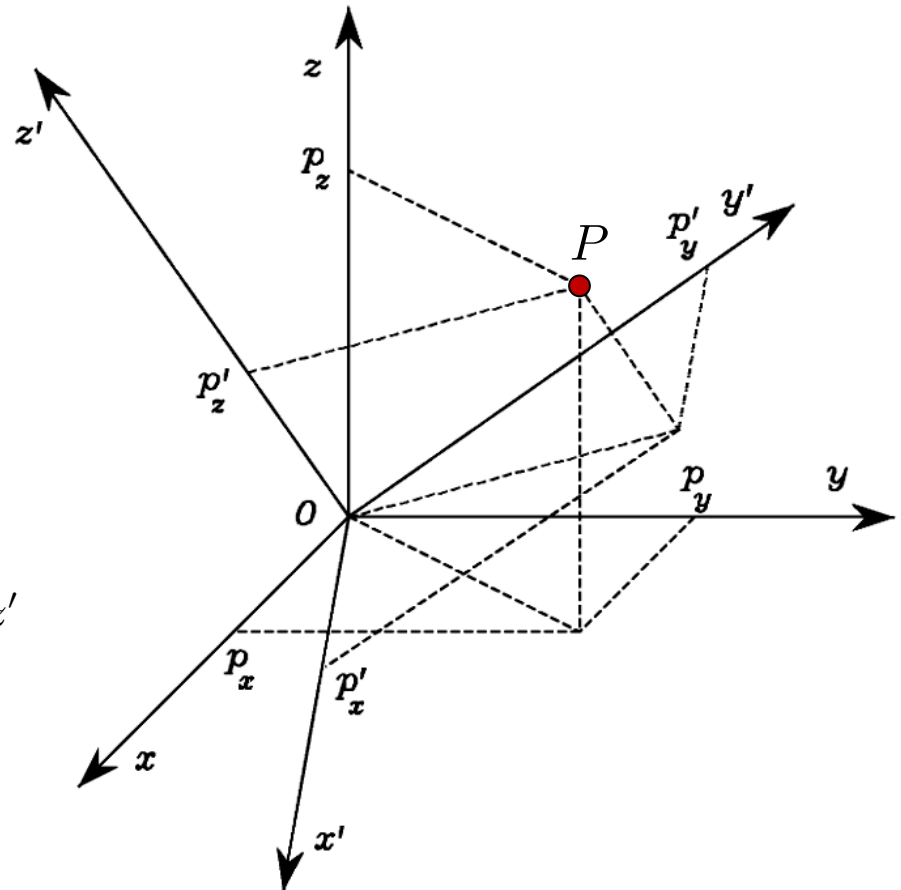
*Hypothèse simplificatrice:* l'origine du repère du solide coïncide avec l'origine du repère fixe. Donc  $\mathbf{o}' = \mathbf{0}_{3 \times 1} = [0, 0, 0]^T$ .

On peut représenter le point 3D  $P$  comme :

$$\mathbf{p} = \begin{bmatrix} p_x \\ p_y \\ p_z \end{bmatrix} \text{ par rapport à } O\text{-}xyz$$

et

$$\mathbf{p}' = \begin{bmatrix} p'_x \\ p'_y \\ p'_z \end{bmatrix} \text{ par rapport à } O\text{-}x'y'z'$$



# Représentation d'un vecteur

Mais  $\mathbf{p}$  et  $\mathbf{p}'$  sont deux représentations du même point  $P$ , donc

$$\mathbf{p} = p'_x \mathbf{x}' + p'_y \mathbf{y}' + p'_z \mathbf{z}' = \begin{bmatrix} \mathbf{x}' & \mathbf{y}' & \mathbf{z}' \end{bmatrix} \mathbf{p}'$$

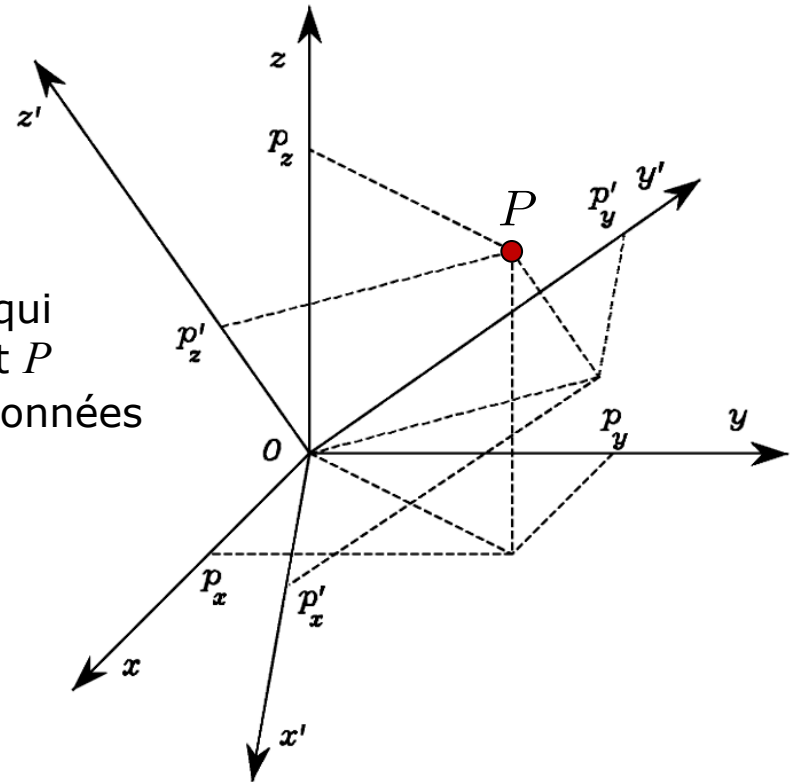
Mais cela signifie que (rappel les équations vues précédemment) :

$$\mathbf{p} = \mathbf{R} \mathbf{p}'$$

$\mathbf{R}$  représente la matrice de transformation qui permet d'exprimer les coordonnées du point  $P$  dans le repère  $O-xyz$ , en fonction des coordonnées du même point dans le repère  $O-x'y'z'$

$\mathbf{R}$  est une *matrice orthogonale*. Donc la transformation inverse est simplement :

$$\mathbf{p}' = \mathbf{R}^T \mathbf{p}$$



# Représentation d'un vecteur

## Exemple :

Deux repères avec la même origine et une rotation relative d'un angle  $\alpha$  autour de l'axe  $z$

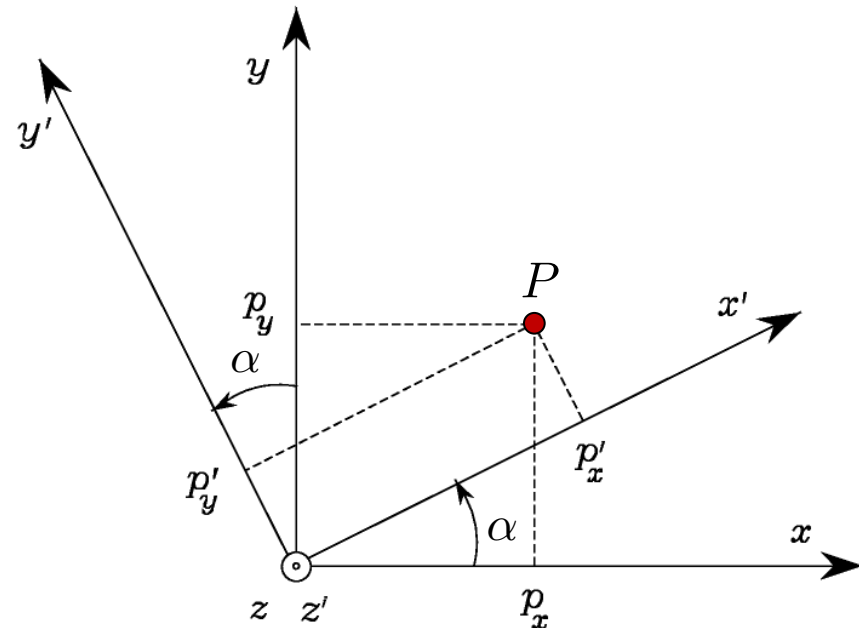
$\mathbf{p}$ ,  $\mathbf{p}'$  : coordonnées du point  $P$  dans les repères  $O-xyz$  et  $O-x'y'z'$

On trouve facilement que:

$$p_x = p'_x \cos \alpha - p'_y \sin \alpha$$

$$p_y = p'_x \sin \alpha + p'_y \cos \alpha$$

$$p_z = p'_z$$



## **Remarque :**

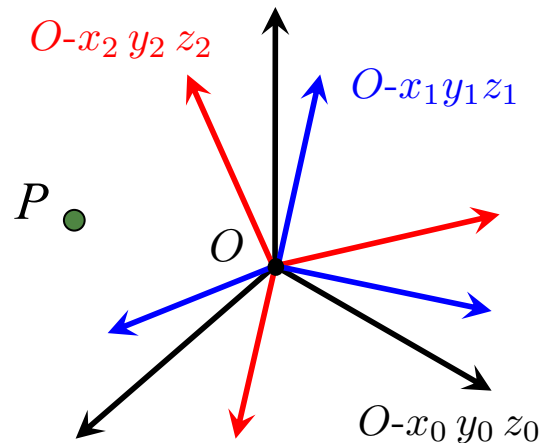
La matrice  $\mathbf{R}_z(\alpha)$  représente non seulement l'orientation d'un repère par rapport à un autre, mais elle décrit également la *transformation d'un vecteur dans un repère en un autre avec la même origine*

# Composition de matrices de rotation

**Problème** : comment composer plusieurs rotations ?

Considérons **trois repères**  $O-x_0 y_0 z_0$ ,  $O-x_1 y_1 z_1$ ,  $O-x_2 y_2 z_2$  avec la *même origine*  $O$

$\mathbf{p}^0, \mathbf{p}^1, \mathbf{p}^2 \in \mathbb{R}^3$  : coordonnées d'un point  $P$  dans les trois repères





# Composition de matrices de rotation

Soit  $\mathbf{R}_i^j$  la matrice de rotation du repère  $i$  par rapport au repère  $j$

Donc

$$\mathbf{p}^1 = \mathbf{R}_2^1 \mathbf{p}^2$$

De même, nous avons :

$$\mathbf{p}^0 = \mathbf{R}_1^0 \mathbf{p}^1$$

$$\mathbf{p}^0 = \mathbf{R}_2^0 \mathbf{p}^2$$

Mais alors, on déduit que :

$$\mathbf{R}_2^0 = \mathbf{R}_1^0 \mathbf{R}_2^1$$

# Composition de matrices de rotation


Considérons un repère initialement aligné avec  $O-x_0 y_0 z_0$

La rotation définie par  $\mathbf{R}_2^0$  peut être obtenue en **deux étapes** :

1. Tourne le repère avec  $\mathbf{R}_1^0$  pour l'aligner avec  $O-x_1 y_1 z_1$
2. Tourne le repère, maintenant aligné avec  $O-x_1 y_1 z_1$ , en utilisant  $\mathbf{R}_2^1$  pour l'aligner avec  $O-x_2 y_2 z_2$

**Composition par rapport au repère courant :**


- De façon générale, une rotation d'ensemble peut être exprimée comme une séquence de  $n$  rotations partielles
- Chaque rotation est définie par rapport à la **précédente**
- Le repère par rapport à lequel la rotation se produit est appelé **repère courant**
- La composition de rotations successives est obtenue par **multiplication à droite** des matrices de rotation, en suivant l'ordre donné des rotations :

$$\mathbf{R}_n^0 = \mathbf{R}_1^0 \mathbf{R}_2^1 \cdots \mathbf{R}_{n-1}^{n-2} \mathbf{R}_n^{n-1}$$


# Composition de matrices de rotation

## Composition par rapport à un **repère fixe** :

- Les rotations successives peuvent aussi être spécifiées toujours par rapport au **repère initial**
- On dit que les rotations sont faites par rapport à un **repère fixe**
- La composition de rotations successives est obtenue par **multiplication à gauche** des matrices de rotation en suivant l'ordre donné des rotations :

$$\mathbf{R}_n^0 = \mathbf{R}_n^{n-1} \mathbf{R}_{n-1}^{n-2} \cdots \mathbf{R}_2^1 \mathbf{R}_1^0$$


## Remarque :

Conformément à la notation que nous avons introduit, nous avons que :

$$\mathbf{R}_i^j = (\mathbf{R}_j^i)^{-1} = (\mathbf{R}_j^i)^T$$

# Composition de matrices de rotation

**Problème fondamental** : le produit matriciel *n'est pas commutatif* !

En général, deux rotations ne commutent pas et la composition dépend de l'ordre de chaque rotation, à savoir :

$$\mathbf{R}_1^0 \mathbf{R}_2^1 \neq \mathbf{R}_2^1 \mathbf{R}_1^0$$

**Exemple :**

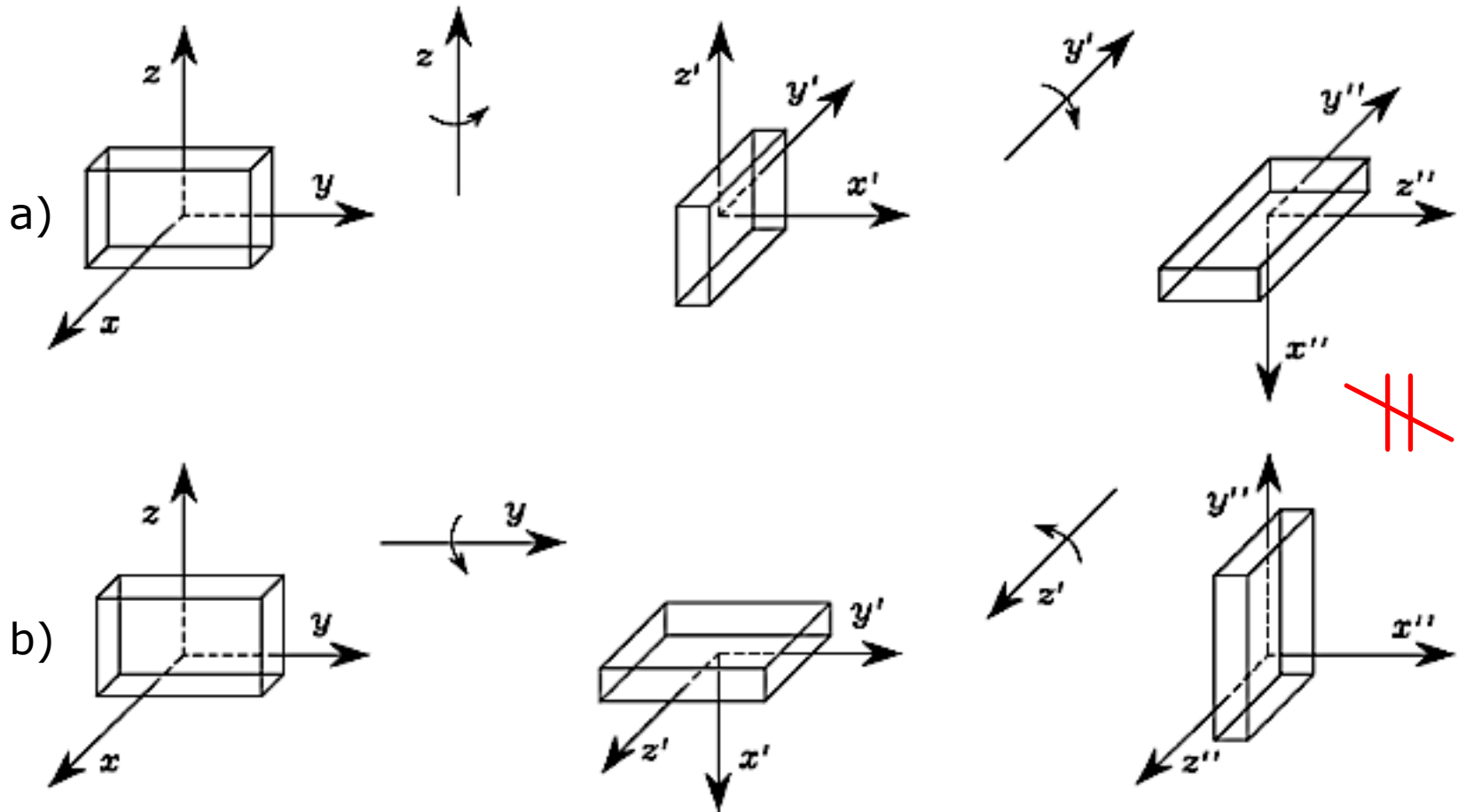
$$\mathbf{R}_x(\pi/4) = \begin{bmatrix} 1 & 0 & 0 \\ 0 & \sqrt{2}/2 & -\sqrt{2}/2 \\ 0 & \sqrt{2}/2 & \sqrt{2}/2 \end{bmatrix}, \quad \mathbf{R}_y(\pi/6) = \begin{bmatrix} \sqrt{3}/2 & 0 & 1/2 \\ 0 & 1 & 0 \\ -1/2 & 0 & \sqrt{3}/2 \end{bmatrix}$$

$$\mathbf{R}_y(\pi/6) \mathbf{R}_x(\pi/4) = \begin{bmatrix} \sqrt{3}/2 & \sqrt{2}/4 & \sqrt{2}/4 \\ 0 & \sqrt{2}/2 & -\sqrt{2}/2 \\ -1/2 & \sqrt{6}/4 & \sqrt{6}/4 \end{bmatrix}$$

$$\mathbf{R}_x(\pi/4) \mathbf{R}_y(\pi/6) = \begin{bmatrix} \sqrt{3}/2 & 0 & 1/2 \\ \sqrt{2}/4 & \sqrt{2}/2 & -\sqrt{6}/4 \\ -\sqrt{2}/4 & \sqrt{2}/2 & \sqrt{6}/4 \end{bmatrix}$$

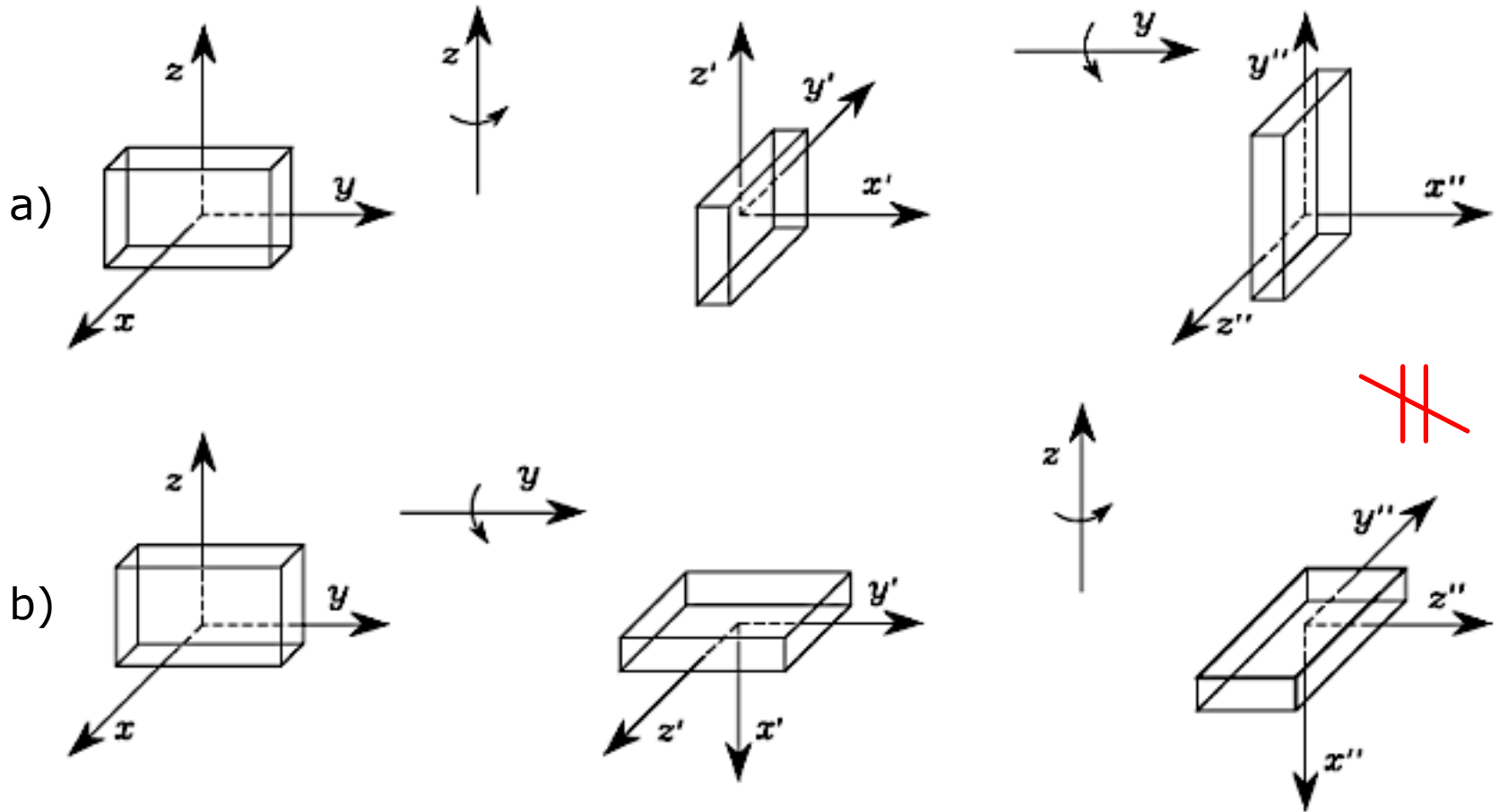
# Composition de matrices de rotation

- Rotations successives d'un objet autour des axes du **repère courant**



# Composition de matrices de rotation

- Rotations successives d'un objet autour des axes du **repère fixe**



# Représentations minimales de l'orientation

- Les *matrices de rotation* fournissent une **description redondante** de l'orientation d'un corps
- En effet, une matrice de rotation  $\mathbf{R}$  comprend 9 éléments :

$$\mathbf{R} = \begin{bmatrix} r_{11} & r_{12} & r_{13} \\ r_{21} & r_{22} & r_{23} \\ r_{31} & r_{32} & r_{33} \end{bmatrix}$$

... mais nous avons **6 relations indépendantes** entre ces éléments (les *contraintes d'orthogonalité* et de *normalité* des colonnes de  $\mathbf{R}$ ) :

$$\begin{array}{ll} r_{11}r_{12} + r_{21}r_{22} + r_{31}r_{32} = 0 & r_{11}^2 + r_{21}^2 + r_{31}^2 = 1 \\ r_{11}r_{13} + r_{21}r_{23} + r_{31}r_{33} = 0 & r_{12}^2 + r_{22}^2 + r_{32}^2 = 1 \\ r_{12}r_{13} + r_{22}r_{23} + r_{32}r_{33} = 0 & r_{13}^2 + r_{23}^2 + r_{33}^2 = 1 \end{array}$$

**Conclusion** : **3 paramètres** suffisent pour décrire l'orientation d'un corps

Une représentation de l'orientation en fonction de 3 *paramètres indépendants* est dite une **représentation minimale**

# Angles de Euler

- Une *représentation minimale* de l'orientation peut être obtenue en utilisant un ensemble de **trois angles** :  $\phi = [\varphi, \theta, \psi]^T$
- Une *matrice de rotation générique* peut être obtenue en composant une séquence opportune de **3 rotations élémentaires** (Théor. d'Euler, 1776)

Attention : il faut garantir que deux rotations successives ne sont pas faites autour d'*axes parallèles*

Cela veut dire que *12 ensembles différents d'angles* sont admissibles parmi les  $3^3 = 27$  combinaisons possibles:

ZXZ, XYX, YZY, ZYZ, XZX, YXY (angles « propres »)  
XYZ, YZX, ZXY, XZY, ZYX, YXZ (angles de Tait-Bryan)

Chaque ensemble constitue un triplet d'**angles d'Euler**

---

Deux triplets d'angles d'Euler très utilisés sont :

1. Les angles ZYZ
2. Les angles ZYX ou angles **roulis-tangage-lacet** (*roll-pitch-yaw*, en anglais)

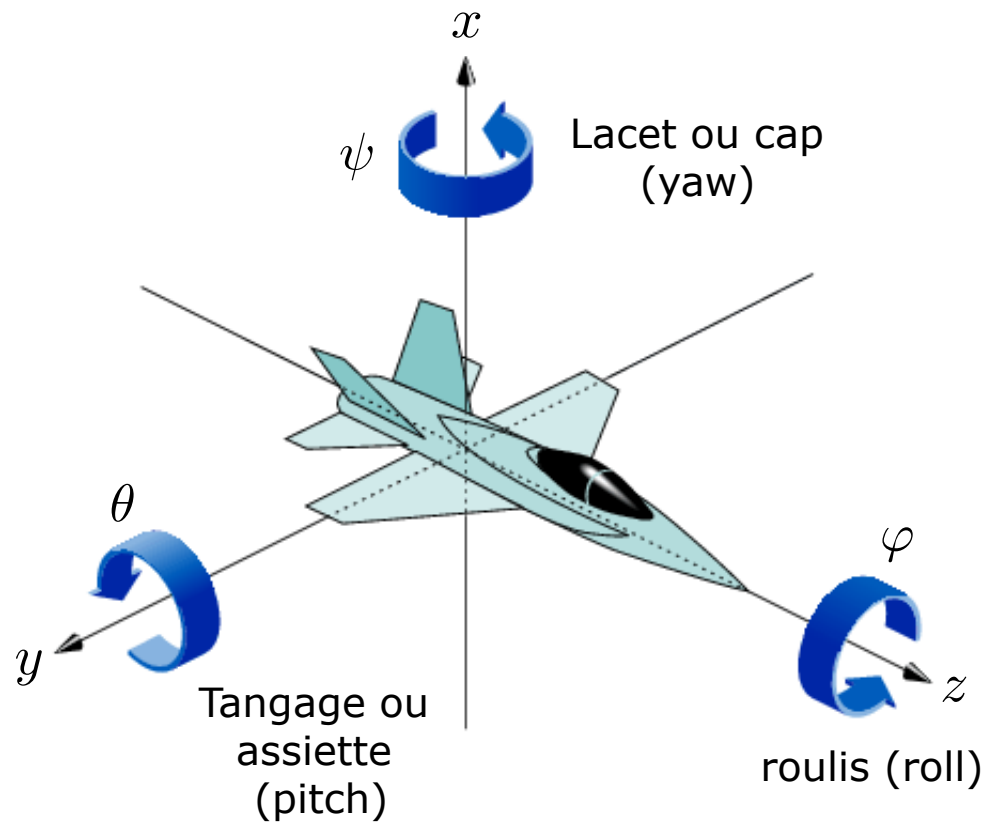


Leonhard Euler  
(1707–1783)



# Angles roulis-tangage-lacet

- Représentation de l'orientation utilisée en (*aéro*)nautique pour décrire l'attitude d'un avion
- Les angles ( $\varphi$ ,  $\theta$ ,  $\psi$ ) représentent des rotations définies dans un repère fixe attaché au centre de masse de l'avion



# Angles roulis-tangage-lacet

La rotation décrite par les angles de roulis, tangage et lacet est obtenue comme la composition de 3 rotations élémentaires :

- Tourner le repère d'un angle  $\psi$  autour de l'axe  $x$  (lacet) : rotation définie par  $\mathbf{R}_x(\psi)$
- Tourner le repère d'un angle  $\theta$  autour de l'axe  $y$  (tangage) : rotation définie par  $\mathbf{R}_y(\theta)$
- Tourner le repère d'un angle  $\varphi$  autour de l'axe  $z$  (roulis) : rotation définie par  $\mathbf{R}_z(\varphi)$

L'orientation résultante du repère est obtenue en composant les rotations par rapport au *repère fixe*, et peut être calculée en *multipliant à gauche* les matrices de rotation élémentaires :

$$\mathbf{R}(\phi) = \mathbf{R}_z(\varphi) \mathbf{R}_y(\theta) \mathbf{R}_x(\psi) = \begin{bmatrix} c_\varphi c_\theta & c_\varphi s_\theta s_\psi - s_\varphi c_\psi & c_\varphi s_\theta c_\psi + s_\varphi s_\psi \\ s_\varphi c_\theta & s_\varphi s_\theta s_\psi + c_\varphi c_\psi & s_\varphi s_\theta c_\psi - c_\varphi s_\psi \\ -s_\theta & c_\theta s_\psi & c_\theta c_\psi \end{bmatrix}$$

où, pour plus de simplicité,  $c_\varphi = \cos \varphi$ ,  $s_\theta = \sin \theta$

# Angles roulis-tangage-lacet

**Problème inverse** : déterminer les angles de roulis, tangage et lacet qui correspondent à une matrice de rotation  $\mathbf{R}$  donnée :

$$\mathbf{R} = \begin{bmatrix} r_{11} & r_{12} & r_{13} \\ r_{21} & r_{22} & r_{23} \\ r_{31} & r_{32} & r_{33} \end{bmatrix}$$

Si on compare cette expression avec  $\mathbf{R}(\phi)$ , on trouve que la solution, pour  $\theta \in (-\pi/2, \pi/2)$ , est :

$$\varphi = \text{Atan2}(r_{21}, r_{11})$$

$$\theta = \text{Atan2}(-r_{31}, \sqrt{r_{32}^2 + r_{33}^2})$$

$$\psi = \text{Atan2}(r_{32}, r_{33})$$

L'autre solution équivalente pour  $\theta \in (\pi/2, 3\pi/2)$ , est :

$$\varphi = \text{Atan2}(-r_{21}, -r_{11})$$

$$\theta = \text{Atan2}(-r_{31}, -\sqrt{r_{32}^2 + r_{33}^2})$$

$$\psi = \text{Atan2}(-r_{32}, -r_{33})$$

# Angles roulis-tangage-lacet

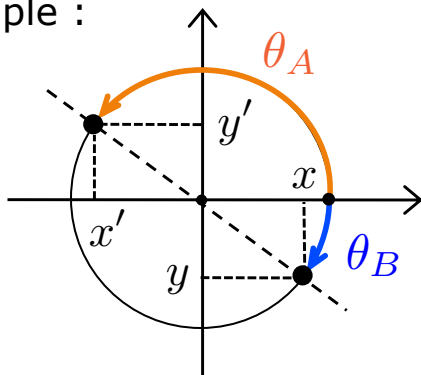
## Remarque 1 :

- Si  $\cos \theta = 0$  les solutions précédentes sont *dégénérées*: dans ce cas, on peut uniquement déterminer la somme ou la différence de  $\varphi$  et  $\psi$  (les angles sont liés)
- Les configurations qui correspondent aux angles  $\theta = \pm \pi/2$  caractérisent les **singularités de représentation** des angles r.t.l. (blocage de cardan ou *gimbal lock*)

## Remarque 2 :

- $\text{Atan2}(y, x)$  est la *fonction arc tangente à deux arguments*
- $\text{Atan2}(y, x)$  calcule l'arc tangente du rapport  $y/x$  mais elle utilise le *signe* des arguments pour déterminer le bon quadrant de l'angle

Exemple :

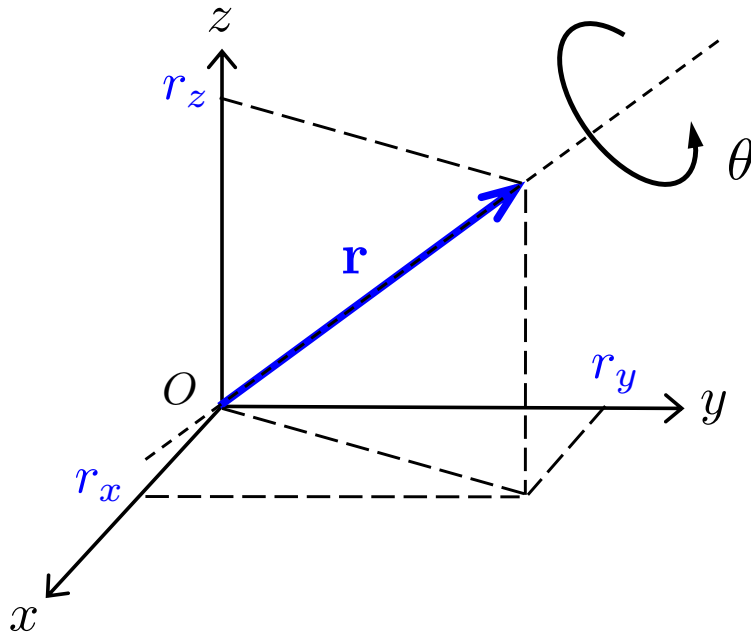


$$\text{Atan2}(y, x) = \begin{cases} \arctan(y/x), & x > 0 \\ \arctan(y/x) + \pi, & y \geq 0, x < 0 \\ \arctan(y/x) - \pi, & y < 0, x < 0 \\ +\pi/2, & y > 0, x = 0 \\ -\pi/2, & y < 0, x = 0 \\ \text{non définie,} & y = 0, x = 0 \end{cases}$$

$\arctan(y/x) = \arctan(y'/x')$  ... mais angle  $\theta_A$  ou  $\theta_B$  ?

# Angle et axe

- Une représentation *non minimale* de l'orientation peut être obtenue en utilisant **4 paramètres** qui expriment une rotation d'un angle  $\theta$  autour d'un axe générique dans l'espace 3D
- Cette représentation peut être utile, par exemple, pour *planifier la trajectoire* de l'effecteur d'un manipulateur



$$\mathbf{r} = [r_x, r_y, r_z]^T$$

vecteur unitaire ( $\|\mathbf{r}\| = 1$ )  
de l'axe de rotation dans  
le repère  $O-xyz$

L'angle  $\theta$  est considéré comme *positif*  
si la rotation autour de l'axe  $\mathbf{r}$  est  
faite dans le sens anti-horaire

# Angle et axe

- Matrice de rotation qui correspond à un angle  $\theta$  et à un axe  $\mathbf{r}$  donnés :

$$\mathbf{R}(\theta, \mathbf{r}) = \begin{bmatrix} r_x^2(1 - c_\theta) + c_\theta & r_x r_y(1 - c_\theta) - r_z s_\theta & r_x r_z(1 - c_\theta) + r_y s_\theta \\ r_x r_y(1 - c_\theta) + r_z s_\theta & r_y^2(1 - c_\theta) + c_\theta & r_y r_z(1 - c_\theta) - r_x s_\theta \\ r_x r_z(1 - c_\theta) - r_y s_\theta & r_y r_z(1 - c_\theta) + r_x s_\theta & r_z^2(1 - c_\theta) + c_\theta \end{bmatrix}$$

où, à nouveau, pour plus de simplicité,  $c_\theta = \cos \theta$ ,  $s_\theta = \sin \theta$

- Une formule plus compacte, mais équivalente, est la *formule de Rodrigues* :

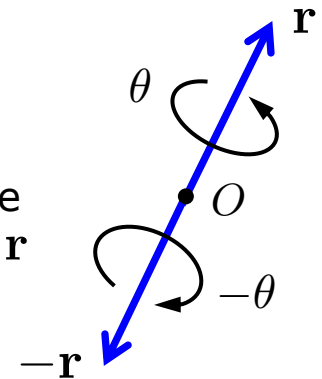
$$\mathbf{R}(\theta, \mathbf{r}) = \mathbf{I}_3 + \hat{\mathbf{r}} \sin \theta + \hat{\mathbf{r}}^2 (1 - \cos \theta) \text{ avec } \hat{\mathbf{r}} \triangleq \begin{bmatrix} 0 & -r_z & r_y \\ r_z & 0 & -r_x \\ -r_y & r_x & 0 \end{bmatrix}$$

## Propriété :

$$\mathbf{R}(-\theta, -\mathbf{r}) = \mathbf{R}(\theta, \mathbf{r})$$

- Ça veut dire que une rotation d'un angle  $-\theta$  autour de l'axe  $-\mathbf{r}$  ne peut pas être distinguée d'un rotation d'un angle  $\theta$  autour de l'axe  $\mathbf{r}$

- La représentation angle et axe **n'est pas unique !**



# Angle et axe

**Problème inverse** : déterminer l'angle et l'axe qui correspondent à une matrice de rotation  $\mathbf{R}$  donnée :

$$\mathbf{R} = \begin{bmatrix} r_{11} & r_{12} & r_{13} \\ r_{21} & r_{22} & r_{23} \\ r_{31} & r_{32} & r_{33} \end{bmatrix}$$

• Si  $\sin \theta \neq 0$ , on obtient :

$$\theta = \arccos \left( \frac{r_{11} + r_{22} + r_{33} - 1}{2} \right) \quad \text{Angle}$$

$$\mathbf{r} = \frac{1}{2 \sin \theta} \begin{bmatrix} r_{32} - r_{23} \\ r_{13} - r_{31} \\ r_{21} - r_{12} \end{bmatrix} \quad \text{Axe}$$

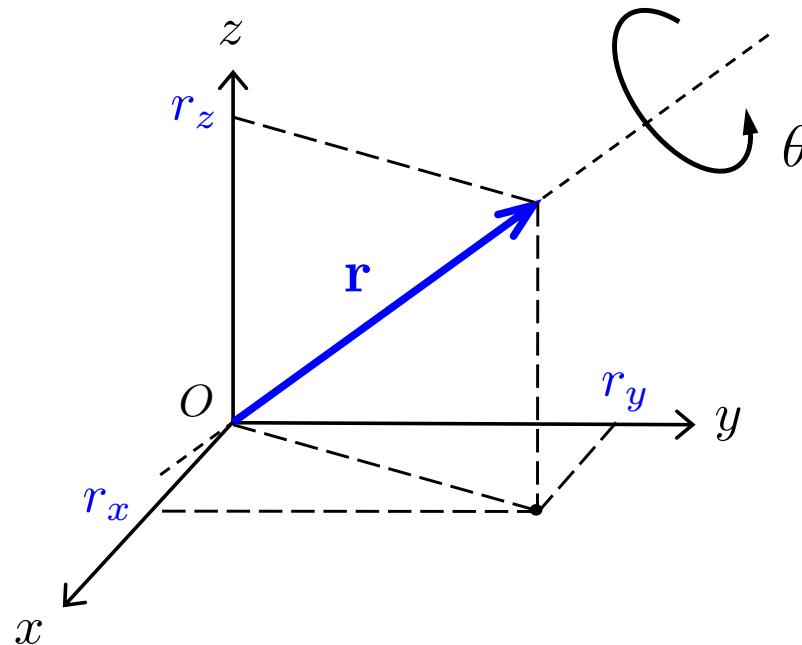
**Remarques** :

- Les deux expressions précédentes décrivent la rotation en fonction de *quatre paramètres* : l'angle et les trois composantes du vecteur unitaire de l'axe
- Cependant, on peut constater que les trois composantes  $r_x, r_y, r_z$  du vecteur  $\mathbf{r}$  ne sont pas indépendantes mais elles sont contraintes par la condition :

$$r_x^2 + r_y^2 + r_z^2 = 1$$

# Angle et axe

- Si  $\sin \theta = 0$ , les équations précédentes *ne sont pas définies*
  - Pour résoudre le problème inverse, il faut travailler avec l'expression particulière de la matrice  $\mathbf{R}$  dont on dispose et trouver des formules de résolution pour les deux cas :  $\theta = \pi$  et  $\theta = 0$
  - Si  $\theta = 0$  (rotation nulle), le vecteur unitaire  $\mathbf{r}$  est *arbitraire* (*singularité de représentation*)





# Quaternion unitaire

- Les inconvénients de la représentation angle et axe peuvent être surmontés par une autre représentation à 4 paramètres, le **quaternion unitaire**, défini par :

$$Q = \{\eta, \epsilon\}$$

avec

$\eta = \cos(\theta/2)$  : *partie scalaire* du quaternion

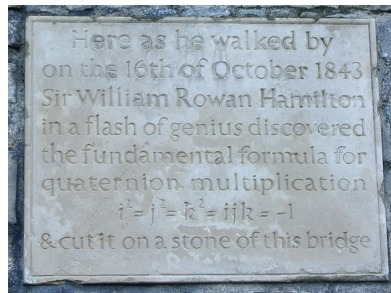
$\epsilon = [\epsilon_x, \epsilon_y, \epsilon_z]^T = \sin(\theta/2) \mathbf{r}$  : *partie vectorielle* du quaternion

avec la contrainte  $\eta^2 + \epsilon_x^2 + \epsilon_y^2 + \epsilon_z^2 = 1$  dont le nom de quaternion *unitaire*.

Les paramètres  $\mathbf{r}$  et  $\theta$  sont les mêmes que pour la représentation angle et axe



Broom Bridge (Dublin)



16 octobre 1843



William R. Hamilton  
(1805–1865)

$$i^2 = j^2 = k^2 = ijk = -1$$
$$q = \eta + \epsilon_x i + \epsilon_y j + \epsilon_z k$$

# Quaternion unitaire

## Remarque :

Contrairement à la représentation angle et axe, une rotation de  $-\theta$  autour de  $-\mathbf{r}$  donne le même quaternion que celui associé à une rotation de  $\theta$  autour de  $\mathbf{r}$

---

- Matrice de rotation qui correspond à un quaternion unitaire  $Q = \{\eta, \epsilon\}$  donné :

$$\mathbf{R}(\eta, \epsilon) = \begin{bmatrix} 2(\eta^2 + \epsilon_x^2) - 1 & 2(\epsilon_x\epsilon_y - \eta\epsilon_z) & 2(\epsilon_x\epsilon_z + \eta\epsilon_y) \\ 2(\epsilon_x\epsilon_y + \eta\epsilon_x) & 2(\eta^2 + \epsilon_y^2) - 1 & 2(\epsilon_y\epsilon_z - \eta\epsilon_x) \\ 2(\epsilon_x\epsilon_z - \eta\epsilon_y) & 2(\epsilon_y\epsilon_z + \eta\epsilon_x) & 2(\eta^2 + \epsilon_z^2) - 1 \end{bmatrix}$$

- Les quaternions  $Q$  et  $-Q$  décrivent la *même* matrice de rotation (les quaternions fournissent un **double recouvrement** du groupe  $SO(3)$ ).

En dehors de cette ambiguïté, les quatre paramètres d'un quaternion décrivent une rotation unique

# Quaternion unitaire

**Problème inverse** : déterminer le quaternion qui correspond à une matrice de rotation  $\mathbf{R}$  donnée :

$$\mathbf{R} = \begin{bmatrix} r_{11} & r_{12} & r_{13} \\ r_{21} & r_{22} & r_{23} \\ r_{31} & r_{32} & r_{33} \end{bmatrix}$$

- Nous avons que :

$$\eta = \frac{1}{2} \sqrt{r_{11} + r_{22} + r_{33} + 1}$$

$$\epsilon = \frac{1}{2} \begin{bmatrix} \operatorname{sgn}(r_{32} - r_{23}) \sqrt{r_{11} - r_{22} - r_{33} + 1} \\ \operatorname{sgn}(r_{13} - r_{31}) \sqrt{r_{22} - r_{33} - r_{11} + 1} \\ \operatorname{sgn}(r_{21} - r_{12}) \sqrt{r_{33} - r_{11} - r_{22} + 1} \end{bmatrix}$$

où la fonction *signe* est définie comme suit :

$$\operatorname{sgn}(x) \triangleq \begin{cases} 1 & \text{si } x \geq 0 \\ -1 & \text{si } x < 0 \end{cases}$$

# Quaternion unitaire

## Remarque :

- Dans la première équation de la slide précédente nous avons supposé implicitement que  $\eta = \cos(\theta/2) \geq 0$ . Cela correspond à un angle  $\theta \in [-\pi, \pi]$ . Par conséquent, *toute rotation peut être décrite*
- Par rapport aux formules d'inversion de la représentation angle et axe, il n'y a *pas de singularités* dans les deux équations de la slide précédente

## Inverse d'un quaternion et produit de deux quaternions

- Le quaternion extrait de la matrice  $\mathbf{R}^{-1} = \mathbf{R}^T$  est noté  $Q^{-1}$  et on peut le calculer ainsi :

$$Q^{-1} = \{\eta, -\epsilon\}$$

- Soient  $Q_1 = \{\eta_1, \epsilon_1\}$  et  $Q_2 = \{\eta_2, \epsilon_2\}$  les quaternions qui correspondent aux matrices de rotation  $\mathbf{R}_1$  et  $\mathbf{R}_2$ , respectivement. Le quaternion qui correspond à leur *produit*  $\mathbf{R}_1\mathbf{R}_2$  est donné par :

$$Q_1 * Q_2 = \{\eta_1\eta_2 - \epsilon_1^T \epsilon_2, \eta_1\epsilon_2 + \eta_2\epsilon_1 + \epsilon_1 \times \epsilon_2\}$$

Si  $Q_2 = Q_1^{-1}$ , la formule précédente nous donne  $\{1, \mathbf{0}\}$ , l'*élément neutre* (ou identité) du produit. Comme le produit matriciel, le produit de quaternions n'est pas commutatif, à savoir  $Q_1 * Q_2 \neq Q_2 * Q_1$

# Représentations de l'orientation

Sommaire des propriétés des 4 représentations de l'orientation d'un corps rigide dans l'espace 3D

Représentation	Matrice de rotation	Angles d'Euler (ZYZ, ZYX, etc.)	Angle et axe	Quaternion unitaire
<b>Globale</b>	Oui	Non	Non	Oui
<b>Unique</b>	Oui	Non	Non	Non
<b>Minimale</b>	Non	Oui	Non	Non

## Remarque :

Une représentation de l'orientation est dite *globale*, s'il n'y a pas de singularités dans le problème inverse